

КОНФЕРЕНЦИИ И СИМПОЗИУМЫ

Мезоскопические и сильнокоррелированные электронные системы "Черноголовка — 97"

5. Мезоскопическая сверхпроводимость и кулоновская блокада

PACS numbers: 73.40.-e, 74.80.Fp

В пятом разделе конференции были представлены следующие доклады:

1. **Петрашов В.** (Лондон, Англия). *Неравновесные гибридные наноструктуры сверхпроводник-нормальный металл.*
2. **Волков А.Ф.** (Институт радиоэлектроники РАН, Россия), **Павловский В.В.** (Физико-технологический институт РАН, Россия). *Явления фазовой когерентности в S/N/S структурах.*
3. **Пурье В.** (Сакле, Франция), **Санкер М.** (Гренобль, Франция). *Аномалии подщелевой проводимости в контактах GaAs со сверхпроводником.*
4. **Андреев А.Ф.** (ИФП им. Капицы, Москва, Россия). *Бозе-конденсация и сверхпроводимость в мезоскопических системах: спонтанное нарушение пространственно-временных симметрий.*
5. **Имри И.** (Институт Вейцмана, Израиль). *Орбитальный парамагнитный отклик электронов на границе сверхпроводник–металл.*
6. **Сливак Б.** (Физический факультет, Вашингтонский университет, Сиэтл, Вашингтон, США и Институт исследований твердого тела Макса Планка, Лаборатория сильных магнитных полей, Гренобль, Франция), **Зюзин А.** (Физико-технический институт им. А.Ф. Иоффе, Россия). *Взаимодействие Рудермана–Киттеля с памятью знака в неупорядоченных металлах и магнитная связь в мезоскопических слоистых системах металл/ферромагнетик.*
7. **Гейм А.** (Университет Ниймеген, Голландия). *Фазовые переходы в мезоскопических сверхпроводниках.*
8. **Аверин Д.А.** (Университет Стоун Броук, США). *Многократное Андреевское рассеяние и электронный транспорт в неупорядоченных S-N-S контактах.*
9. **Мартин Родеро А.** (Независимый университет, Мадрид, Испания). *Сверхпроводящий транспорт в наноструктурах с несколькими проводящими каналами.*
10. **Иванов Д. А.** (ИТФ им. Л.Д. Ландау, Черноголовка, Россия; Массачусетский технологический институт, Кембридж, Массачусетс, США), **Фейгельман М.В.** (ИТФ им. Л.Д. Ландау, Россия). *Кулоновские эффекты в баллистическом одноканальном S-S-S-транзисторе.*
11. **Матвеев К.А.** (Университет Дьюк, США), **Ларкин А.И.** (Университет Миннесота, США, и ИТФ им. Л.Д. Ландау, Россия). *Сверхпроводимость в сверхмальных гранулах.*
12. **Мюллер П.** (Университет Эрланген, Германия). *Электроника на атомном масштабе: от ВТСП до самоорганизующихся сверхмолекул.*
13. **Солдатов Е.С., Ханин В.В., Трифонов А.С., Преснов Д.Е., Яковенко С.А., Хомутов Г.Б.** (Физический факультет, Московский государственный университет, Москва, Россия), **Губин С.П.** (Институт общей и неорганической химии, Москва, Россия), **Колесов В.В.** (Институт радиоэлектроники, Москва, Россия), **Коротков А.Н.** (Научно-исследовательский институт ядерной физики, Московский государственный университет, Москва, Россия). *Молекулярный одноэлектронный транзистор, работающий при комнатной температуре.*
14. **Крупенин В.А., Лотхов С.В.** (Лаборатория криоэлектроники, Московский государственный университет, Москва, Россия), **Шерер Х., Ваймани Т., Зорин А.Б., Алерс Ф.-Й., Нимайер Й., Вольф Х.** (Федеральная лаборатория технической физики, Брауншвайг, Германия). *Зондирование динамических зарядовых состояний с помощью одиночных туннельных транзисторов.*
15. **Кузьмин Л.** (Физический факультет, Московский Государственный университет, Москва, и Университет Чалмерс, Швеция). *Блоховские осцилляции в сверхмальных джозефсоновских переходах с высокоомным окружением.*
16. **Шитов А.В., Ли П.А., Левитов Л.С.** (Массачусетский технологический институт, Кембридж, Массачусетс, США). *Локализация квазичастиц в NS-структуре.*

Ниже публикуются доклады 2, 6, 10, 13, 14, 16. Содержание ряда других докладов можно найти: № 4 — *Письма в ЖЭТФ* 63 963 (1996); 64 618 (1996), № 8 — cond-mat/9706087, № 9 — cond-mat/9711263, № 11 — cond-mat/9701041

Явления фазовой когерентности в S/N/S структурах

А.Ф. Волков, В.В. Павловский

1. Введение

Прогресс в нанотехнологии за последние несколько лет сделал возможным получение проводящих наноструктур, в которых наблюдаются новые физические явления.

В частности, были созданы структуры смешанного типа, состоящие из сверхпроводников (S) и нормальных проводников (N). В качестве нормальных проводников использовались металлические пленки [1–5] или полупроводниковые слои [5–7]. Транспортные свойства этих S/N структур оказались весьма необычными. Во-первых, в магнитном поле H наблюдались осцилляции проводимости этих мезоскопических структур (т.е. структур, размеры которых меньше, чем длина сбоя фазы L_ϕ). Осцилляции проводимости N-каналов возникали, если структура содержала сверхпроводящий или нормальный контур [1–4, 6]. Более того, для N-канала, находящегося в контакте со сверхпроводниками, при $T \ll T_c$ наблюдалась немонотонная зависимость проводимости от температуры T и напряжения V [4]. Основные экспериментальные факты были объяснены в недавних теоретических работах. Установлено, что эффект близости играет главную роль в транспортных свойствах. Например, проводимость N-канала в структуре, показанной на рис. 1, изменяется в результате вклада конденсата, индуцированного эффектом близости. Поскольку конденсат индуцируется обоими сверхпроводниками нелокальным образом, возникает интерференция, и в сопротивлении N-канала появляется член $-\delta R \cos \varphi$, который зависит от разности фаз φ между сверхпроводниками [8–10]. При увеличении магнитного поля H разность фаз возрастает, и это приводит к осцилляциям проводимости N-канала в магнитном поле. Немонотонная зависимость сопротивления R N-канала от T и V тоже получила объяснение [11, 12] (см. также теоретические работы в трудах конференции [7]). Немонотонная зависимость сопротивления $R(T, V)$ в точке контакта ScN (с — сужение) впервые получена теоретически в работе [13].

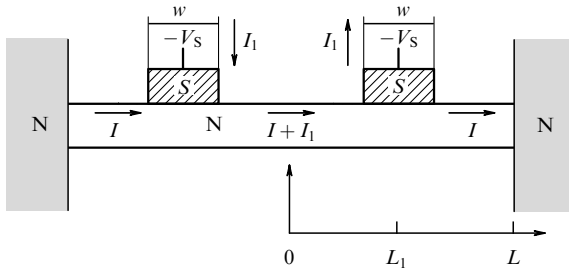


Рис. 1. Схема исследуемой системы.

Новые эффекты были предсказаны также в теоретических работах, посвященных S/N структурам. Например, в работе [14, 15] было показано, что джозефсоновский ток I_c в структуре типа изображенной на рис. 1 зависит от напряжения V_S между S и N проводниками, изменяя знак (π -контакт), если V_S превышает некоторое значение. Кроме того, было показано, что эффект Джозефсона возникает также в случае, когда ток течет только через одну S/N границу. Несколько разных конфигураций S/N структур изучались в работе [16]. Было установлено, что при определенных условиях вольт-амперные характеристики S/N структур имеют понижающиеся участки ($dI/dV < 0$).

В работе [17] было отмечено одно важное обстоятельство (см. также [7]). Было показано, что локальная проводимость N-канала изменяется на расстояниях от S/N границы, которое может быть много больше длины

когерентности $\xi_N = \sqrt{D/2\pi T}$ (D — коэффициент диффузии). Из этого факта вытекают важные следствия. Например, в проводимости N-канала эффекты фазовой когерентности сохраняются, даже когда расстояние $2L_1$ между сверхпроводниками много больше ξ_N . Это означает, что осцилляции проводимости в структуре, показанной на рис. 1, будут наблюдаться также в случае пренебрежимо малого критического тока I_c . Эффект сохранения осцилляций обусловлен тем фактом, что когда T возрастает, I_c уменьшается экспоненциально ($I_c \sim \exp(-2L_1/\xi_N(T))$), а δR уменьшается медленно ($\delta R \sim T^{-1}$) [18].

В настоящей работе рассматривается возможность наблюдения дальнодействующих эффектов фазовой когерентности в S/N/S структуре, изображенной на рис. 1. В частности, будет показано, что эффекты джозефсоновского типа могут возникать в этой структуре даже когда выполняется условие

$$2L_1 \gg \xi_N(T) = \sqrt{\frac{D}{2\pi T}}, \quad (1)$$

т.е. когда джозефсоновский ток I_c пренебрежимо мал. Эти эффекты возникают только в том случае, когда вдоль N-канала течет ток I , и имеется диссипация [23].

2. Основные уравнения. Дальнодействующие эффекты Джозефсона

Как и в работах [8–18], в настоящей работе исследуется диффузионный режим переноса заряда ($l \ll \xi_N$, l — средний свободный пробег), и используется уравнение для суперматрицы \check{G} , элементами которой являются матричные функции Грина — запаздывающая (опережающая) функции $\check{G}^{R(A)}$ — и функция Келдыша \hat{G} [19]. Эти уравнения дополняются подходящими условиями на S/N границе [20, 21].

Уравнение для суперматрицы \check{G} , усредненной по толщине N пленки, имеет вид [10, 18]

$$D\partial_x(\check{G}\partial_x\check{G}) + i\epsilon[\check{G}_z, \check{G}] = \epsilon_b w \delta(x \pm L_1)[\check{G}_S, \check{G}]. \quad (2)$$

Правая часть (2) описывает влияние сверхпроводника S на N-канал, в котором все функции \check{G}_S считаются равновесными. Коэффициент ϵ_b представляет собой характеристическую энергию, которая пропорциональна коэффициенту прохождения через S/N-границу: $\epsilon_b = \rho D / 2R_{b\perp}d_N$, $R_{b\perp}$ — сопротивление единицы площади S/N-границы; ρ и d_N — удельное сопротивление и толщина N-пленки. Взаимодействие с фононами и эффекты распаривания не учитываются, поскольку система является мезоскопической: $2L < \min(\sqrt{D\tau_\epsilon}, \sqrt{D/\gamma})$, τ_ϵ — время релаксации энергии, а γ — скорость распаривания. Для простоты предполагается, что ширина w S/N границы мала по сравнению с ξ_N . Элементами суперматрицы \check{G} являются матрицы запаздывающей (опережающей) функций Грина $\check{G}^{R(A)}$ и матрица \hat{G} , связанная с функциями распределения f и f_0 [19].

При выводе уравнения (2) использовалось граничное условие

$$D(\check{G}\partial_x\check{G}) = (\epsilon_b d_N)[\check{G}, \check{G}_S]. \quad (3)$$

Здесь ось z перпендикулярна к плоскости S/N. Граничные условия для квазиклассических функций Грина \check{G} в общем случае были выведены Зайцевым [20] и были сведены в "грязном" случае к простому виду (3) Купри-

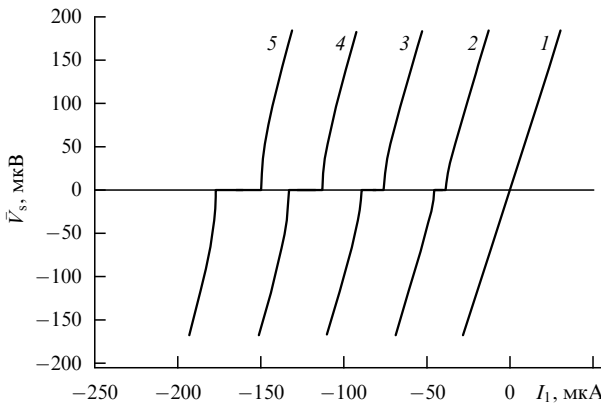


Рис. 2. \bar{V}_S в зависимости от тока I_1 для следующих значений тока: 1 — 0; 2 — 250 мкА; 3 — 500 мкА; 4 — 750 мкА; 5 — 1 мкА. Здесь $\delta R_1 = 0,1 R_1$; $R_b = 5 R_1$; $R_1 = 1$ Ом.

яновым и Лукичевым [21]. В случае хорошего S/N-контакта условие (3) сводится к непрерывности функций Грина на границе раздела S/N: $\hat{G} = \check{G}_S$. Для плохого контакта ($\epsilon_b \rightarrow 0$) условие (3) дает тот же результат для тока через поверхность раздела S/N, который был получен с помощью метода туннельного гамильтона [20]. Однако для S/N контакта с произвольной прозрачностью барьера условие (3) неприменимо. Дело в том, что при выводе уравнения (3) Куприянов и Лукичев [21] ограничились при разложении зависящей от углов функции Грина \hat{G} полиномами Лежандра нулевого и первого порядка. Между тем, нетрудно показать, что вблизи S/N-границы (или N/N') возбуждаются все гармоники Лежандра. На расстоянии от границы раздела порядка средней длины свободного пробега они спадают до нуля (за исключением полиномов Лежандра нулевого и первого порядка). Чтобы получить поправку следующего порядка по ϵ_b к условию (3), надо решить интегральное уравнение [22]. В случае S/N-границы с произвольной прозрачностью барьера проблема граничных условий для квазиклассических функций Грина усложняется.

Далее рассматривается случай высокого барьера, причем рассмотрение ограничивается самым низшим членом разложения по ϵ_b . Затем с использованием (3) в качестве граничного условия будет получено уравнение (2).

Ток в системе выражается через функции f , которые определяются из уравнения (2) с граничным условием

$$f(\pm L) = \pm F_N(\epsilon), \quad (4)$$

где $F_N(\epsilon) = 1/2 [\tanh(\epsilon + eV_N)\beta - \tanh(\epsilon - eV_N)\beta]$ — равновесная функция в N-резервуарах, и $\beta = (2T)^{-1}$. Метод решения тот же, что и в работах [15–18]. Умножим элементы (1,2), соответствующие Келдышевской функции \check{G} суперматричного уравнения (2) на $\hat{\sigma}_z$ и вычислим шпур. После одного интегрирования получаем

$$[1 - m_-(x)]\partial_x f = \begin{cases} J + J_1 - J_S, & 0 < x < L_1, \\ J, & L_1 < x < L \end{cases} \quad (5)$$

Здесь функция $m_-(x) = (1/8)\text{Sp}[\hat{F}^R(x) - \hat{F}^A(x)]^2$ определяет поправку к проводимости N канала, обусловленную эффектом близости. Это главная поправка в данной

задаче. Постоянные интегрирования J и J_1 можно было бы назвать парциальными "токами" на единицу энергии. Точнее говоря, ток I на участке (L_1, L) есть интеграл по энергии

$$I = (2e\rho)^{-1} d_N \int d\epsilon J(\epsilon). \quad (6)$$

Ток на участке $(0, L_1)$ выражается той же формулой, если заменить J на $J + J_1$. Величина J_S , входящая в уравнение (5), представляет собой сверхпроводящий "ток", который на участках (L_1, L) и $(0, L_1)$ не зависит от x и определен через конденсатные функции как

$$J_S = \left(\frac{1}{4} \right) \text{Sp} \hat{\sigma}_z (\hat{F}^R \partial_x \hat{F}^R - \hat{F}^A \partial_x \hat{F}^A). \quad (7)$$

Если выполняется условие (1), интеграл от J_S (7) по энергии экспоненциально мал. Как следует из уравнения (2), константа J_1 связана с функцией Грина и функцией распределения в сверхпроводнике. Ее можно записать в следующем виде [10, 18]

$$J_1 = J_q + \tilde{J}_S, \quad J_q = \left(\frac{\rho}{d_N} \Re_b \right) [F_S(\epsilon) - f(L_1)]. \quad (8)$$

Здесь $\Re_b = R_b \square / w [v_N v_S + (1/8)\text{Sp}(\hat{F}^R + \hat{F}^A)(F_S^R + F_S^A)]^{-1}$ — сопротивление S/N-границы на единицу длины в направлении u и v_N , v_S — плотность состояний в N- и S-проводниках. Можно показать, что для $V_{N,S}$, которое мало по сравнению с T/e , "сверхток" \tilde{J}_S , протекающий через S/N-границу, равен J_S . Функция распределения F_S представляет собой равновесную функцию, т.е. она идентична функции в уравнении (4), если V_N заменить на V_S (потенциалы отчитываются от точки 0, где напряжение равно нулю). Используя малость m_- , можно проинтегрировать (5) и найти связь J и J_q с F_N и F_S (см. граничное условие (4)). Получаем нормальные токи

$$\begin{aligned} \left(\frac{d_N}{\rho} \right) J &= \frac{\Re_b F_N + \Re_1 (F_N - F_S)}{\Re_b \Re + \Re_1 \Re_2}, \\ \left(\frac{d_N}{\rho} \right) J_1 &\approx J_q \left(\frac{d_N}{\rho} \right) = \frac{\Re_2 F_S + \Re_1 (F_S - F_N)}{\Re_b \Re + \Re_1 \Re_2}. \end{aligned} \quad (9)$$

Здесь \Re_b определено в (8); величину $\Re = \Re_1 + \Re_2$, где $\Re_{1,2} = R_{1,2}(1 + \langle m_- \rangle)$, можно назвать парциальным сопротивлением. Пространственное среднее $\langle m_- \rangle_{1,2}$ на участках $(0, L_1)$ и (L_1, L) дает уменьшение сопротивления за счет эффекта близости ($\langle m_- \rangle$ отрицательно). Все сопротивления в (9) зависят от разности фаз φ и от энергии; их можно представить в виде $\Re_b = R_b - \delta \Re_b \cos \varphi$ и $\Re_{1,2} = R_{1,2} - \delta \Re_{1,2} \cos \varphi$. Поправки к сопротивлениям $\delta \Re_b$ и $\delta \Re_{1,2}$ в случае слабого эффекта близости малы, величины R_b и $R_{1,2}$, вообще говоря, зависят от энергии ϵ (например, v_S зависит от ϵ). Предположим для простоты, что эти величины не зависят от энергии. Это справедливо, если допустить, что сверхпроводники являются бесщелевыми (в случае сверхпроводников с щелью результаты качественно не меняются). Тогда, интегрируя уравнение (9) по энергии, получаем в левой части токи I и I_1 (см. (6)). Исключая V_N из двух полученных уравнений, находим для V_S

$$\begin{aligned} V_S &= \hbar \frac{\partial_t \varphi}{4e} = I_1 [R_b + R_1 - (\delta R_b + \delta R_1) \cos \varphi] + \\ &+ I(R_1 - \delta R_1 \cos \varphi). \end{aligned} \quad (10)$$

Здесь использованы соотношения Джозефсона; R_b — сопротивление на S/N-границе, которое в случае сверхпроводников с нулевой щелью приблизительно равно значению в нормальном состоянии. Сопротивление R_1 также приблизительно равно $\rho L_1/d_N$ (независящая от φ поправка, возникающая из $\langle m_- \rangle$ мала и несущественна). Интегрируя уравнение (10), получаем соотношение между средним напряжением \bar{V}_S и фиксированными токами I и I_1 .

$$\bar{V}_S = \sqrt{[(I + I_1)R_1 + I_1 R_b]^2 - [(I + I_1)\delta R_1 + I_1 \delta R_b]^2}. \quad (11)$$

Функция $\bar{V}_S(I_1)$ изображена на рис. 2 для различных токов I . Видно, что для $I \neq 0$ эта зависимость идентична вольт-амперной характеристике стандартного джозефсоновского контакта. В этом случае критический ток

$$I_c = I \frac{\delta R_1 R_b - \delta R_b R_1}{(R_b + R_1)^2}. \quad (12)$$

Следовательно, I_c возрастает пропорционально току I . Ниже будет показано, что поправка δR_1 медленно уменьшается при повышении температуры ($\delta R_1 \sim T^{-1}$), а поправка δR_b мала, если выполняется условие (1). Следовательно, для $R_b \gg R_1$ получаем $I_c \simeq I \delta R_1 / R_b$. Максимальный ток I ограничен условием малости Джоулева тепла и условием $eV_N \simeq eIR \ll T$. В противоположном случае δR_1 уменьшается, когда увеличивается V_N . Если условие (1) не выполняется, и между сверхпроводниками существует конечное джозефсоновское взаимодействие, то нетрудно показать, что критический ток в структуре равняется $I_c^* = (I_c^2 + I_{cJ}^2)^{1/2}$, где I_{cJ} — критический джозефсоновский ток. Выражение для I_{cJ} можно легко получить с помощью уравнения (6). Это выражение приведено в работе [10]. Равновесная разность фаз φ_0 для $I_1 + IR_1/(R_b + R_1) = 0$ равна $\varphi_0 = -\arcsin(I_c/I_c^*)$.

Чтобы определить δR_1 и δR_b , надо найти конденсатные функции $\hat{F}^{R(A)}$, индуцированные эффектом близости. Уравнение для $\hat{F}^{R(A)}$ следует из (2) и является линейным в случае малой $\hat{F}^{R(A)}$ [10, 15, 18]. Для $|x| < L_1$ решение этого уравнения имеет вид

$$\begin{aligned} \hat{F}^{R(A)}(x) = F_S^{R(A)} & \left[i\hat{\sigma}_y \cos\left(\frac{\varphi}{2}\right) P_y \cosh(kx) + \right. \\ & \left. + i\hat{\sigma}_x \sin\left(\frac{\varphi}{2}\right) P_x \sinh(kx) \right]^{R(A)}. \end{aligned} \quad (13)$$

Здесь $F_S^{R(A)}$ — амплитуда конденсатных функций в сверхпроводниках. В случае нулевой щели $F_S^{R(A)} = \pm\Delta/(\epsilon \pm i\gamma_S)$, где γ_S — частота столкновений с примесями с переворотом спина. Функции $P_{x,y}$ равны:

$$\begin{aligned} P_x &= \frac{b \sinh \theta_2}{(\sinh \theta + b \sinh \theta_1 \sinh \theta_2)}, \\ P_y &= \frac{b \sinh \theta_2}{(\cosh \theta + b \cosh \theta_1 \sinh \theta_2)}, \\ b &= \frac{\rho w}{(R_b \square d_N)} k, \quad k^{R(A)} = \sqrt{\mp \frac{2i\epsilon}{D}}, \\ \theta &= \theta_1 + \theta_2, \quad \theta_{1,2} \equiv \theta'_{1,2} + i\theta''_{1,2} = kL_{1,2}. \end{aligned} \quad (14)$$

Если функции $\hat{F}^{R(A)}$ известны, можно вычислить интерференционную поправку к сопротивлению δR_1 :

$$\delta R_1 = -R_1 \int_0^\infty d\epsilon \beta \cdot \cosh^{-2}(\epsilon\beta) \left\langle m_-(x, \varphi) - m_-\left(x, \frac{\pi}{2}\right) \right\rangle_1. \quad (15)$$

С помощью выражений для $\langle m_- \rangle_1$ (см. (5)) и для $\hat{F}^{R(A)}$ (см. (13)) находим

$$\frac{\delta R_1}{R_1} = \int_0^\infty d\epsilon \beta \cdot \cosh^{-2}(\epsilon\beta) M(\epsilon), \quad (16)$$

где

$$\begin{aligned} M(\epsilon) = \left(\frac{1}{8} \right) \left\{ & |F_S|^2 \left[|P_y|^2 \left[\frac{\sinh(2\theta'_1)}{2\theta'_1} + \frac{\sin(2\theta''_1)}{2\theta''_1} \right] - \right. \right. \\ & - |P_x|^2 \left[\frac{\sinh(2\theta'_1)}{2\theta'_1} - \frac{\sin(2\theta''_1)}{2\theta''_1} \right] + \\ & + \text{Re} F_S^2 \left[P_y^2 \left(\frac{\sinh(2\theta_1)}{2\theta_1} + 1 \right) - \right. \\ & \left. \left. - P_x^2 \left(\frac{\sinh(2\theta_1)}{2\theta_1} - 1 \right) \right] \right\}. \end{aligned}$$

Температурная зависимость δR_1 изображена на рис. 3. Видно, что для $T > \epsilon_{L_1} = D/(2L_1)^2$ величина δR_1 уменьшается при возрастании температуры как T^{-1} . Как отмечено в работах [15, 18], слабое уменьшение $\delta R_1(T)$ обусловлено так называемым аномальным членом $F_R F_A$ в $\langle m_- \rangle_1$. Особая роль этого члена, который неаналитичен как в верхней, так и в нижней полуплоскости ϵ , была отмечена в работе [24].

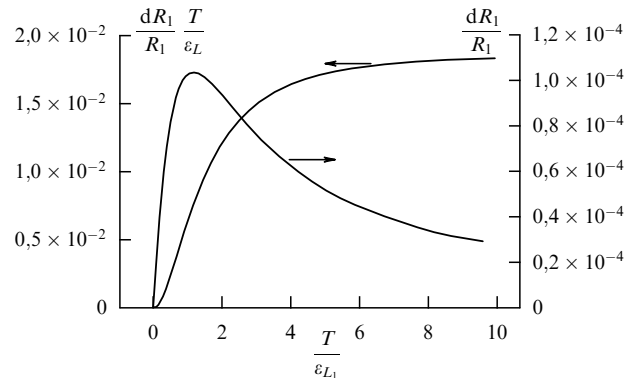


Рис. 3. Интерференционная поправка δR_1 к сопротивлению как функция температуры в случае $L_1 = 0,5L$; $R/R_b = 0,4$; $\gamma/\epsilon_L = 100$, $A/\epsilon_L = 30$.

Джозефсоновский ток I_S определяется интегралом от J_S (7) по всем энергиям, т.е. интегралом от произведений или опережающих или запаздывающих функций Грина. Его можно вычислить, замыкая контур интегрирования в верхней (нижней) полуплоскости ϵ и переходя к суммированию по мацубаровским частотам $\omega_n = \pi T(2n+1)$. Для таких энергий функции $F^{R(A)}$ экспоненциально спадают с увеличением расстояния $k^{-1}(\omega_n) \leq \xi_n(T)$ от S/N-границы. Следовательно, ток I_S будет экспоненциально мал ($I_S \sim \exp(-2L_1/\xi_N(T))$). Функция $I_S(T)$ для структуры, показанной на рис. 1, приводится в работе [18]. Аналогичные аргументы применимы также к вычислению δR_b , поскольку для $T < \gamma_S$ можно предположить, что функции F_S^R и F_S^A равны и не зависят от энергии. В то же

время функция $F^R F^A$, возникающая в выражении для δR_1 , спадает на малых (по сравнению с T) энергиях $\epsilon_{L_1} = D/(2L_1)^2$ и вносит ненулевой вклад. Для таких энергий характеристическая длина спада $F^{R(A)}(x)$ имеет порядок L_1 , т.е. порядок расстояния между сверхпроводниками.

Для того, чтобы наблюдалась дальнодействующие эффекты Джозефсона, критический ток I_c должен превышать флуктуационный ток: $I_c \gg Te/\hbar$. С другой стороны, обычным эффектом Джозефсона можно пренебречь, если выполняется условие $\epsilon_{L_1} \ll T$. Комбинируя эти неравенства, получаем условие

$$\frac{TR_b R_1}{\delta R_b R_Q} \ll \epsilon_{L_1} \ll T, \quad (17)$$

которое должно выполняться, чтобы наблюдалась описываемые эффекты. Здесь $R_Q = \hbar/e^2 \approx 3$ кОм и учтено, что максимальное значение I определяется соотношением $eIR \leq \epsilon_{L_1}$. В противном случае δR_1 уменьшается при увеличении I . Первое неравенство в (17) означает, что нулевая степень Шапиро на кривой $I_1(V_S)$ при $I = 0$ отсутствует. Если второе неравенство в (16) не выполняется, то критический ток при $I = 0$ не равен нулю (обычный эффект Джозефсона). В этом случае эффективный критический ток I_c^* должен сначала увеличиваться при возрастании I , а затем уменьшаться, когда I превышает ϵ_{L_1}/eR .

3. Заключение

В заключение отметим, что как видно из рис. 3, поправка δR_1 к сопротивлению нормального канала, обусловленная эффектом близости, зависит от температуры T немонотонно: она равна нулю при $T = 0$ (напряжение смещения также равно нулю), достигает максимума при $T \approx \epsilon_{L_1}$ и спадает до нуля при повышении T . Такое поведение $\delta R_1(T)$, как отмечено в [15], связано с различными зависимостями от энергии ϵ двух вкладов в δR_1 . Один вклад, который увеличивает сопротивление N-канала, связан с уменьшением плотности состояний в нормальном канале. Он описывается последним членом в $M(\epsilon)$ (см. (16)). Другой вклад (аномальный), который уменьшает сопротивление нормального канала, описывается двумя первыми членами в $M(\epsilon)$. Этот вклад точно компенсирует вклад, обусловленный изменением плотности состояний нормального канала при $\epsilon = 0$, и является доминирующим при $\epsilon \neq 0$. При $T > T_c$ он приводит к вкладу Маки–Томпсона в парапроводимость. Математически компенсация этих двух вкладов при $\epsilon = 0$ возникает потому, что при $\epsilon = 0$, $F^R = F^A$, а m_- в (15) обращается в нуль. Монотонное поведение δR наблюдалось в эксперименте [4]. Было бы интересно наблюдать дальнодействующий эффект Джозефсона экспериментально.

Работа выполнена при поддержке Российского фонда фундаментальных исследований (грант № 96-02-16663а), Российской программы по высокотемпературной сверхпроводимости (грант № 96053) и CRDF (грант № RP1-165). Авторы выражают благодарность за эту поддержку.

Список литературы

- Petraphov V T et al. *Phys. Rev. Lett.* **70** 347 (1993); *Phys. Rev. Lett.* **74** 5268 (1995)

- Pothier H et al. *Phys. Rev. Lett.* **73** 2488 (1994)
- Vegvar P G N et al. *Phys. Rev. Lett.* **73** 1416 (1994)
- Courtois H et al. *Phys. Rev. Lett.* **76** 130 (1996); Charlat D et al. *Phys. Rev. Lett.* **77** 4950 (1996)
- Dimoulas H et al. *Phys. Rev. Lett.* **74** 602 (1995); den Hartog S G et al. *Phys. Rev. Lett.* **76** 4592 (1996)
- Nguen C, Kroemer H, Hu E L *Phys. Rev. Lett.* **69** 2847 (1992)
- Poirier W, Mailly D, Sanquer M, in *Proc. of the Conf. on Correlated Fermions and Transport in Mesoscopic Systems* (Les Arcs, France, 1996)
- Hekking F W, Nazarov Yu V *Phys. Rev. Lett.* **71** 1525 (1993); *Phys. Rev. B* **49** 6847 (1994)
- Zaitsev A V *Phys. Lett. A* **194** 315 (1994)
- Volkov A F, Zaitsev A V *Phys. Rev. B* **53** 9267 (1996)
- Nazarov Yu V, Stoof T H *Phys. Rev. Lett.* **76** 823 (1996)
- Volkov A F, Allsopp N, Lambert A C *J. Phys. Cond. Matter* **8** 45 (1996)
- Artemenko S N, Volkov A F, Zaitsev A V *Solid State Comm.* **30** 771 (1979)
- Volkov A F *Phys. Rev. Lett.* **74** 4730 (1995); *Письма в ЖЭТФ* **61** 556 (1995) [*JETP Lett.* **61** 565 (1995)]
- Volkov A F, Pavlovskii V V, in *Proc. of the Conf. on Correlated Fermions and Transport in Mesoscopic Systems* (Les Arcs, France, 1996)
- Зайцев А В *Письма в ЖЭТФ* **61** 755 (1995) [*JETP Lett.* **61** 771 (1995)]
- Zhou F, Spivak B Z, Zyuzin A *Phys. Rev. B* **52** 4467 (1995)
- Volkov A F, Takayanagi H *Phys. Rev. Lett.* **76** 4026 (1996); Antonov V N, Volkov A F, Takayanagi H *Phys. Rev. B* **55** 3836 (1997)
- Larkin A I, Ovchinnikov Yu N, in *Nonequilibrium Superconductivity* (Eds D N Langenberg, A I Larkin) (Amsterdam: Elsevier, 1986) p. 493
- Зайцев А В *ЖЭТФ* **86** 1742 (1984) [*Sov. Phys. JETP* **59** 1015 (1984)]
- Куприянов М Ю, Лукичев В Ф *ЖЭТФ* **94** 139 (1988) [*Sov. Phys. JETP* **67** 1163 (1988)]
- Lambert C J et al. *Phys. Rev. B* **55** 6015 (1997)
- Волков А Ф, Павловский В В *Письма в ЖЭТФ* **64** 624 (1996) [*Sov. Phys. JETP Lett.* **64** 670 (1996)]
- Горьков Л П, Элиашберг Г М *ЖЭТФ* **56** 1297 (1969) [*Sov. Phys. JETP* **29** 698 (1969)]

Взаимодействие Рудермана–Киттеля с памятью знака в неупорядоченных металлах и магнитная связь в мезоскопических слоистых системах металлы/ферромагнетик

Б. Спивак, А. Зюзин

В случае, когда два парамагнитных спина помещены в чистый немагнитный металл при нулевой температуре $T = 0$, энергия обменного взаимодействия Рудермана–Киттеля между ними имеет хорошо известный вид [1]

$$I_{ij}(\mathbf{R}_1, \mathbf{R}_2) = I_0 \frac{\cos(2p_F |\mathbf{R}_1 - \mathbf{R}_2|)}{(p_F |\mathbf{R}_1 - \mathbf{R}_2|)^d} \delta_{ij}. \quad (1)$$

Здесь I_0 — множитель, пропорциональный квадрату обменного взаимодействия между локализованными спинами и спинами электронов проводимости в металле, p_F — импульс Ферми в металле, d — размерность пространства, i, j — спиновые индексы и $\mathbf{R}_1, \mathbf{R}_2$ — координаты локализованных спинов. В случае неупорядоченных металлов $|\mathbf{R}_1 - \mathbf{R}_2| \gg l \gg p_F^{-1}$ амплитуда средней обменной энергии Рудермана–Киттеля

$$\langle I_{ij}(\mathbf{R}_1, \mathbf{R}_2) \rangle \sim \exp\left(-\frac{|\mathbf{R}_1 - \mathbf{R}_2|}{l}\right), \quad (2)$$